

# 物理不可克隆函数的建模与设计研究

Modeling and Design of Physical Unclonable Functions

报 告 人 唐文懿

导 师 贾嵩

日 期 2016-5-30

# 内容提要

## 背景介绍

- 技术背景
- 评价指标

## 建模推导

- BRPUF简介
- BRPUF建模

## 新结构介绍

- 电路结构
- 运作机制
- 测试结果

## 总结

- 工作总结
- 前景展望

# 背景介绍

## ◆密码:

- 保护隐私数据
- 确保数据可靠
- 身份认证

## ◆现代密码学:

- 加密算法
- 通信协议

## ◆单向函数:

- 密码学的原型（基础）



# 技术背景

- ◆ 单向函数（One-Way Function）的存在性尚未被证明\*
- ◆ 有许多应用于实际的“单向函数”：
  - RSA：整数分解问题
  - ECC：离散对数问题
- ◆ 物理单向函数：
  - 用物理原理实现单向函数
    - 实现简单
    - 成本低廉
  - 不可复制性

\*<https://en.wikipedia.org/wiki/Cryptography>

# 技术背景

## ◆ PUF—Physical Unclonable Function (物理不可克隆函数)

- 输入: **Challenge**
- 输出: **Response**
- **CRP: C-R Pairs**
  - ✓不可知物理系统
  - ✓观测点



### ● Weak PUF

- CRP空间小
- 没有对外IO接口

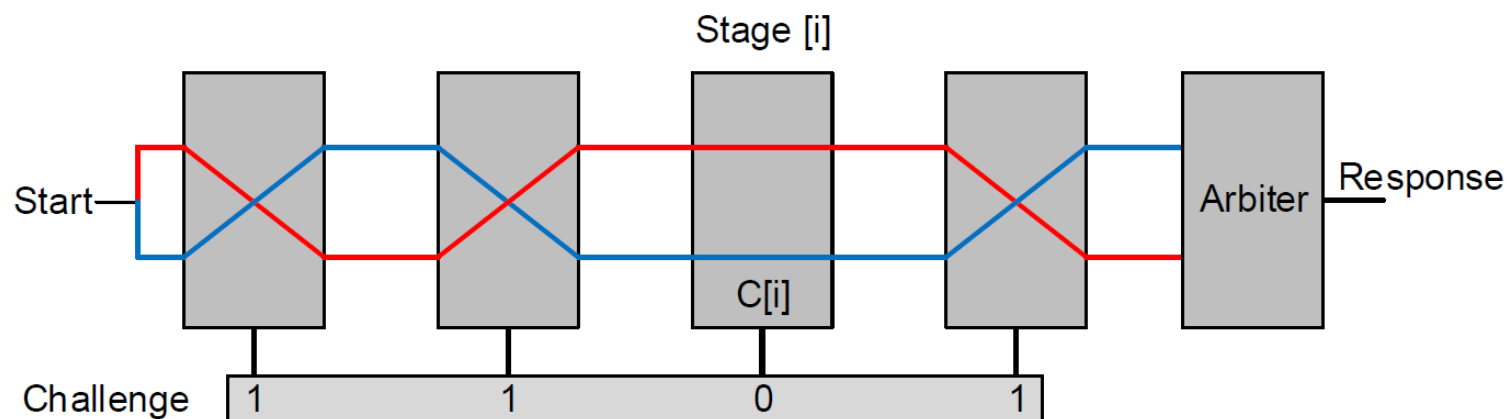
### ● Strong PUF

- CRP空间极大
- 不可预测性
- 不受保护的对外IO接口

## 技术背景

## ◆ PUF在电路中的实现

- 未知物理系统：制作工艺波动
  - 不可控
  - 不可仿真
- 观测点：数字化输出



Arbiter PUF[1]: B. Gassend, “*Silicon Physical Random Functions*”, 2002

# 评价指标

## ◆ 量化指标

- 输出统计特性:

1. (片内分布) 随机性:  $Rand = \frac{1}{N} \cdot \sum^N f(c_i)$

2. (片间分布) 独特性:  $Uniq = \frac{2}{M(M-1)} \sum_{i=1}^M \sum_{j=i+1}^M \frac{HD(P_i, P_j)}{N}$

3. 可靠性:  $Reliability = \frac{1}{MN} \sum_j^M \sum_i^N |f(c') - f(c_i)|$

- 逆向计算复杂度 $O(\cdot)$

## ◆ 理想指标:

- Strong PUF的不可预测性, 不能根据CRP某一子集推算出其他子集或全集

# 逆向算法——建模攻击

- ◆ 利用CRP子集，建立PUF模型，通过特定算法拟合模型参数。
- ◆ 参数+模型 = CRP全集
- ◆ 建模攻击评价指标：
  - 算法复杂度
  - 预测率，所需训练集大小



# 原理分析

## 背景介绍

- ☐ 技术背景
- ☐ 评价指标

## 建模推导

- ☐ BRPUF简介
- ☐ BRPUF建模

## 新结构介绍

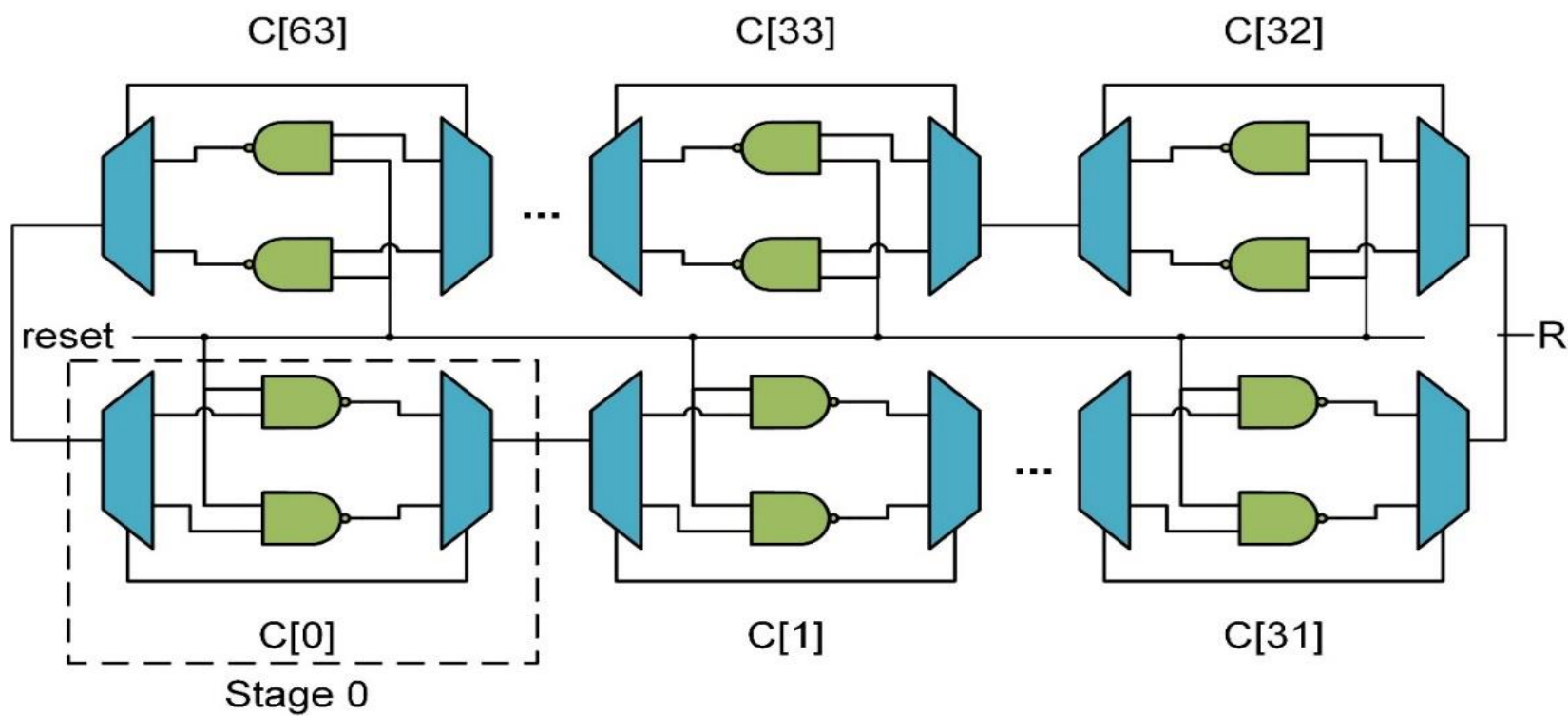
- ☐ 电路结构
- ☐ 运作机制
- ☐ 测试结果

## 总结

- ☐ 工作总结
- ☐ 前景展望

# BR-PUF

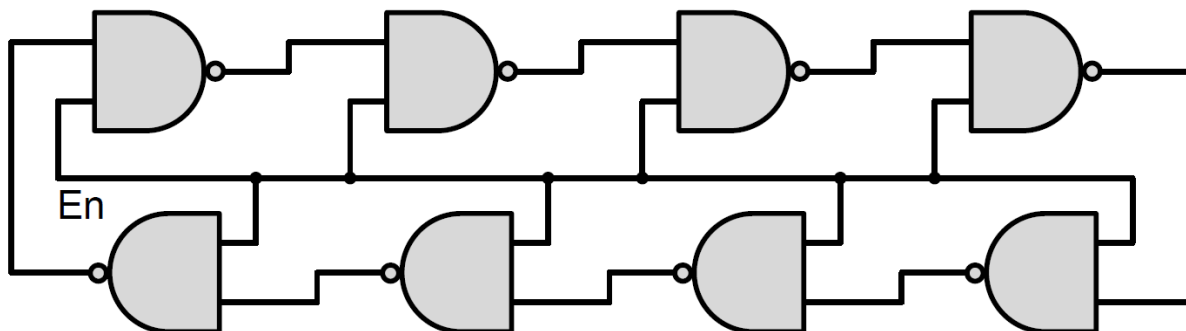
参考文献[2]: Q. Chen, *HOST 2011*, pp 134-141的设计:



# 现有建模工作

- ◆ Q. Chen, *DATE 2012*, pp. 1459—1462:
  - BRPUF的统计分析
- ◆ D. Schuster et., al., *TRUST 2014*, pp. 101—109:
  - 单层神经网络模型
- ◆ 已有结论:
  - BRPUF存在统计偏差
  - SNN预测率90%
- ◆ 不足:
  - 偏差根源尚未明确
  - 单层网络模型粗糙

# BR-PUF建模推导过程



## 分析占空比变化

◆ NAND: 上升沿--下降沿延迟 $tr$ , 下降沿--上升沿延迟 $tf$

◆ W: 周期信号占空比

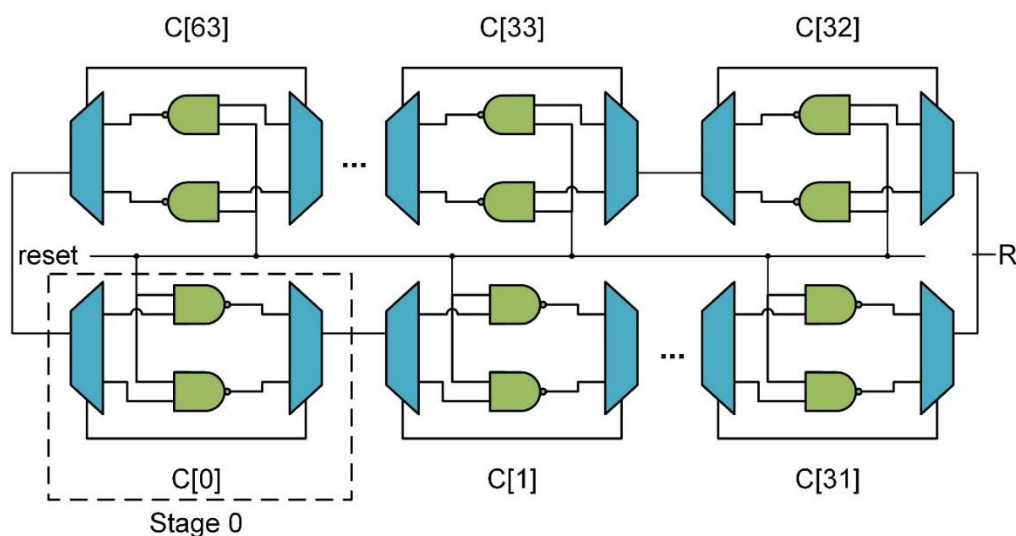
$$W_{i+1} = W_i + \frac{tf_i - tr_i}{T} (-1)^i$$

$$W \in [0,1]$$

$$W > 1 \rightarrow R = 1; W < 0 \rightarrow R = 0$$

# BR-PUF建模推导过程

◆ 每级两个与非门tr, tf设为p, q, r, s



$$R = \text{sgn} \left( \sum_i^N (-1)^i \left( \frac{1 + c_i}{2} (p_i - q_i) + \frac{1 - c_i}{2} (r_i - s_i) \right) \right)$$

$$= \text{sgn}(\sum(\alpha_i c_i + \beta_i)) = \text{sgn}(p' d)$$

复杂度:  $O(m \cdot \text{Dim}(d)) = O(mn)$

# 对已有结论的延伸

◆收敛状态只与 $\delta$ 有关  $R = \text{sgn}(\delta) = A'C + B$

◆ $\delta$ 的分布如下：

$$\bullet \mu(\delta) = B + \frac{\sum A'C}{2^N} = B, \sigma(\delta) = \frac{1}{2^{N/2}} \sqrt{\sum (A'C)^2} = \sqrt{\sum \alpha_i^2}$$

◆则考察B的分布：

$$\bullet \sigma(B) = \sqrt{\sum (\sigma^2(\beta_i))}$$

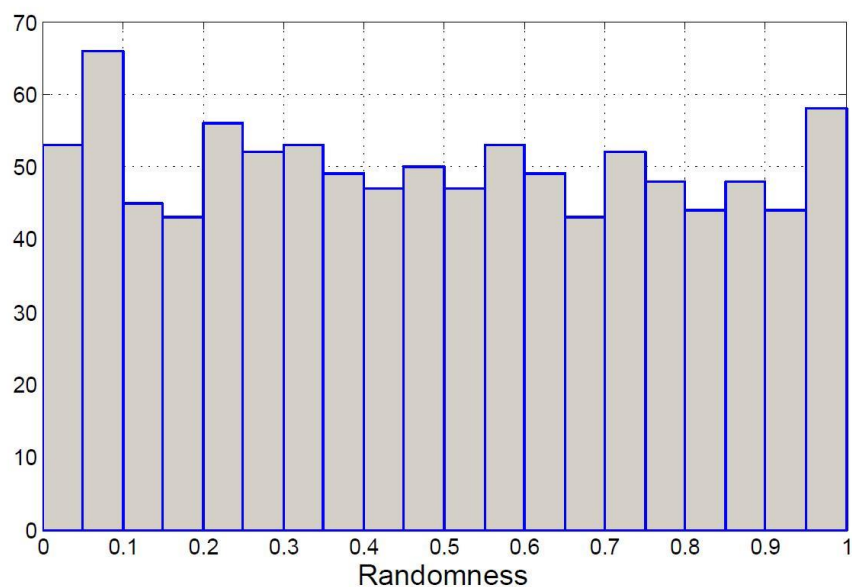
◆推论：片内分布与 $\delta$ 均值的方差和 $\delta$ 方差的方差之比相关

$$\bullet |Rand - 0.5| \propto \frac{\sigma(\sigma(\delta))}{\sigma(\mu(\delta))}$$

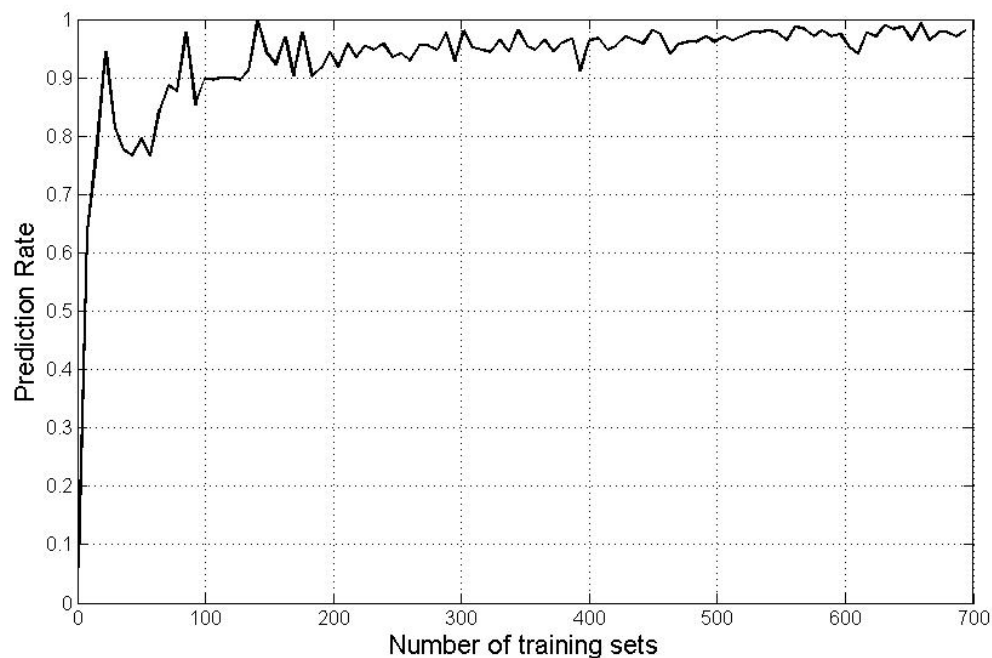
• BRPUF比值大，片内分布偏差大

# 建模攻击模拟

BRPUF片内分布仿真  
N=32bit

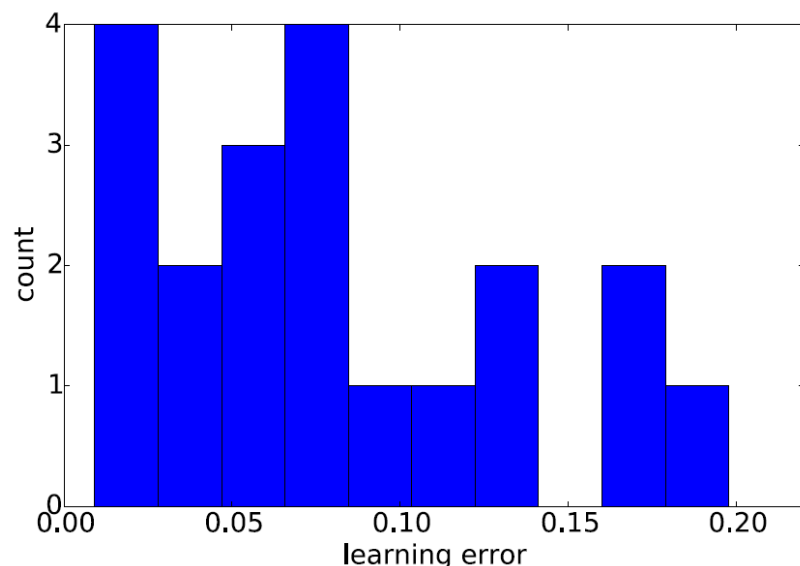


建模攻击预测率仿真曲线  
N=32bit, m=x-axis

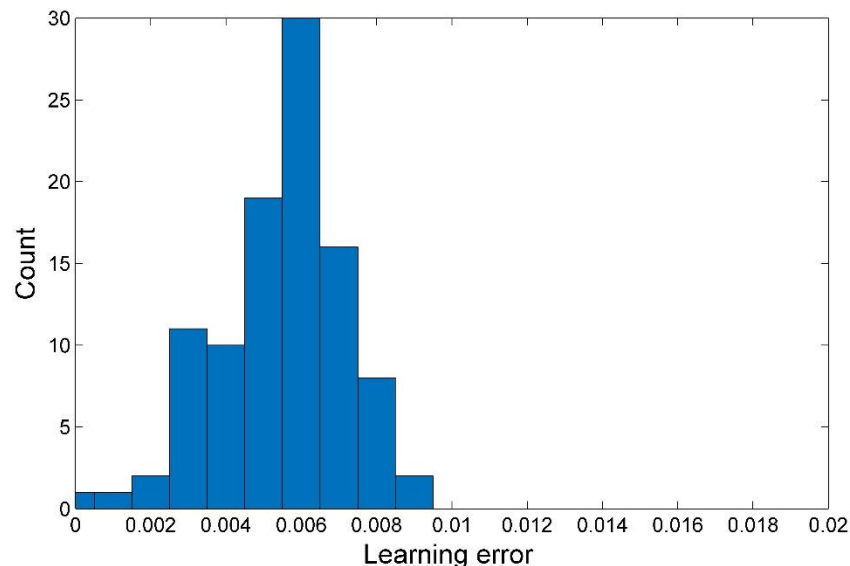


# 与SNN模型对比

单层神经网络拟合22个BRPUF的预测率分布图[3]



本模型对100个BRPUF的预测率分布图

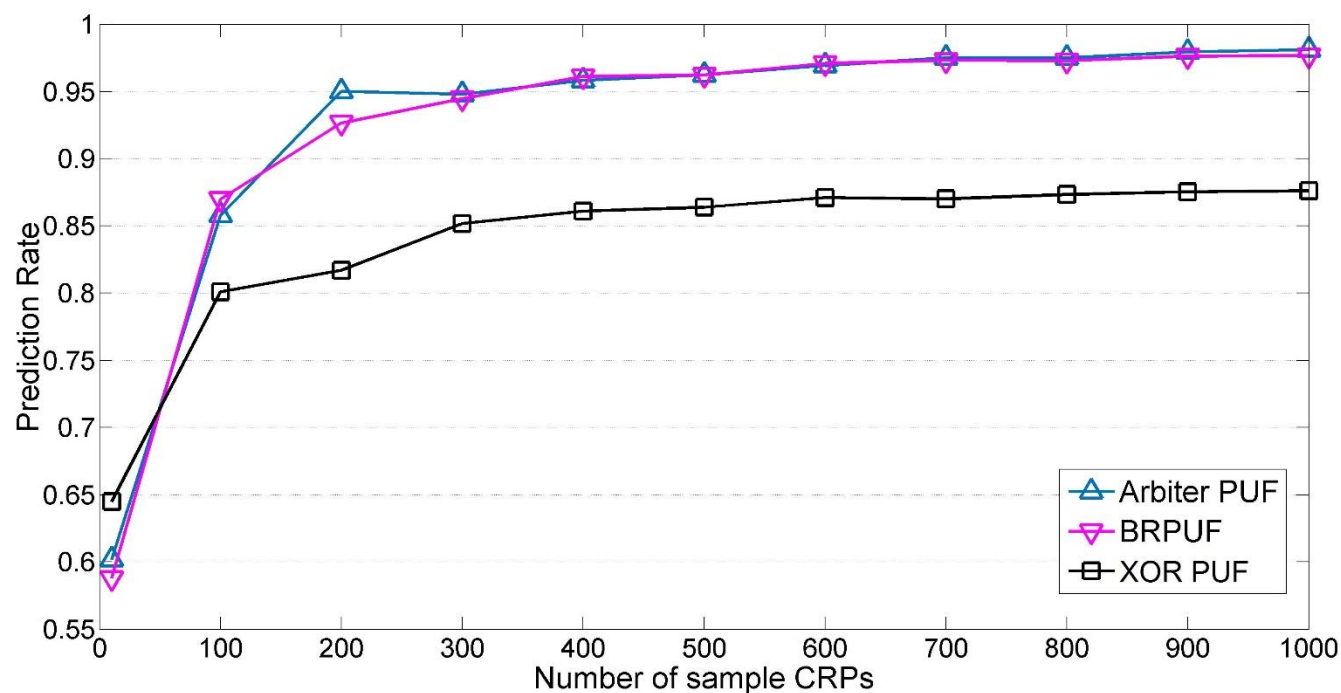


[3] Dieter Schuster and Robert Hesselbarth, *TRUST 2014*, pp. 101—109



# 与其他模型间对比

- ◆ 不同PUF适用不同模型，本模型同经典仲裁PUF模型和XOR模型进行横向对比，比较本模型针对BRPUF的预测率和训练集



# 新结构介绍

## 背景介绍

- ☐ 技术背景
- ☐ 评价指标

## 建模推导

- ☐ BRPUF简介
- ☐ BRPUF建模

## 新结构介绍

- ☐ 电路结构
- ☐ 运作机制
- ☐ 测试结果

## 总结

- ☐ 工作总结
- ☐ 前景展望

# Strong PUF设计指标

## 高不可预测性PUF

### ◆主要指标:

- 最小线性可分维度  $n \rightarrow +\infty$
- 片内分布  $\mu \rightarrow 0.5, \sigma \rightarrow 0$
- 片间分布  $\mu \rightarrow 0.5, \sigma \rightarrow 0$  (工艺相关)

### ◆次要指标:

- 面积开销
- 激励——响应速度

# Strong PUF研究现状

## ◆通过增加位宽和XOR算法提高建模算法复杂度[4]

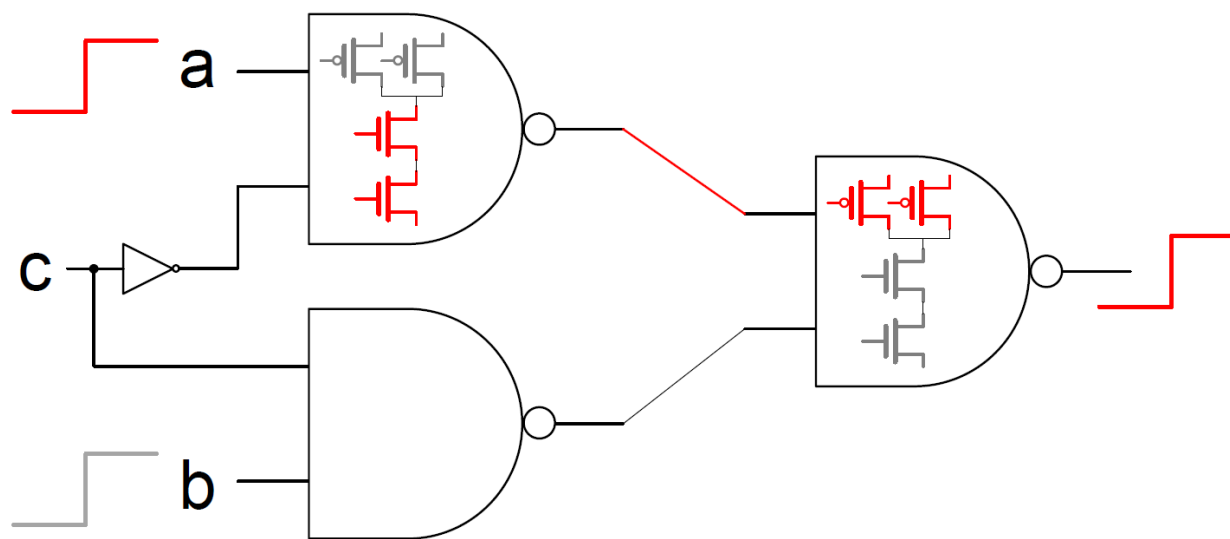
PUF Type	激励位宽	预测率	输出异或个数	训练集CRP	学习时间
仲裁型PUF	128	99%	-	5.5k	0.51s
XOR PUF	64	99%	4	12k	3min42s
		99%	5	80k	2h8min
		99%	6	200k	31h1min
	128	99%	4	24k	2h52min
		99%	5	500k	16h36min
		-	6	-	-
Lightweight PUF	64	99%	4	12k	1h28min
		99%	5	300k	13h6min
		-	6	-	-
	128	99%	4	500k	59min42s
		99%	5	1000k	267days
		-	6	-	-

[4] A. Mahmoud, U. Ruhrmair & M. Majzoobi, *IACR* 2013: 632

# 交换器逻辑结构

## ◆ 交换器实现细节

- 驱动上升沿/下降沿是不同MOS管

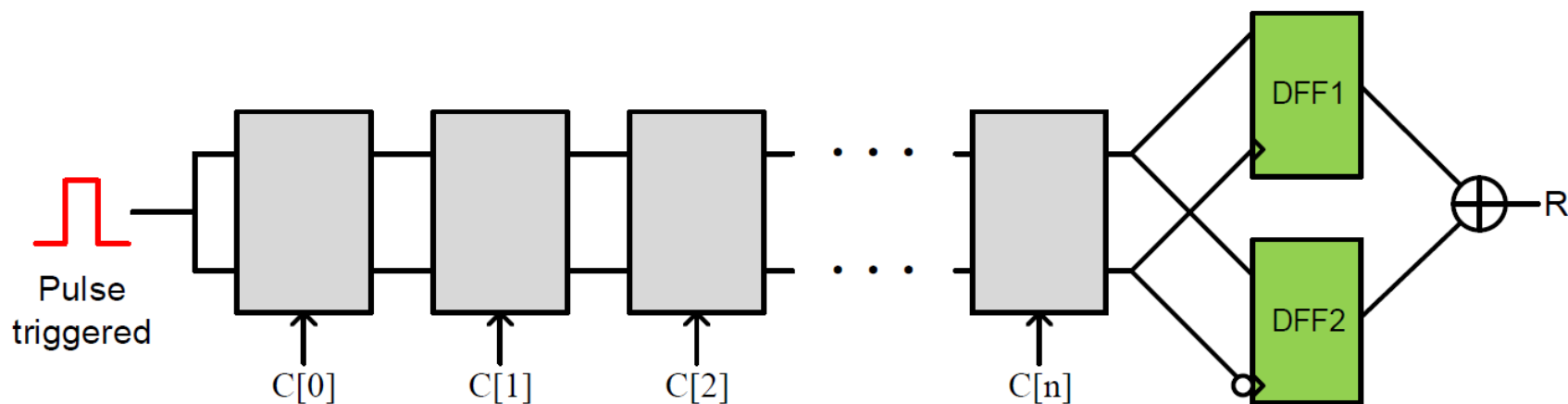
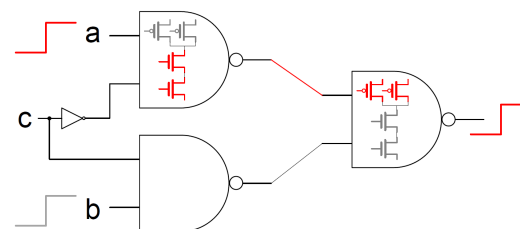


# PA-PUF

◆ 结构复用，减少面积

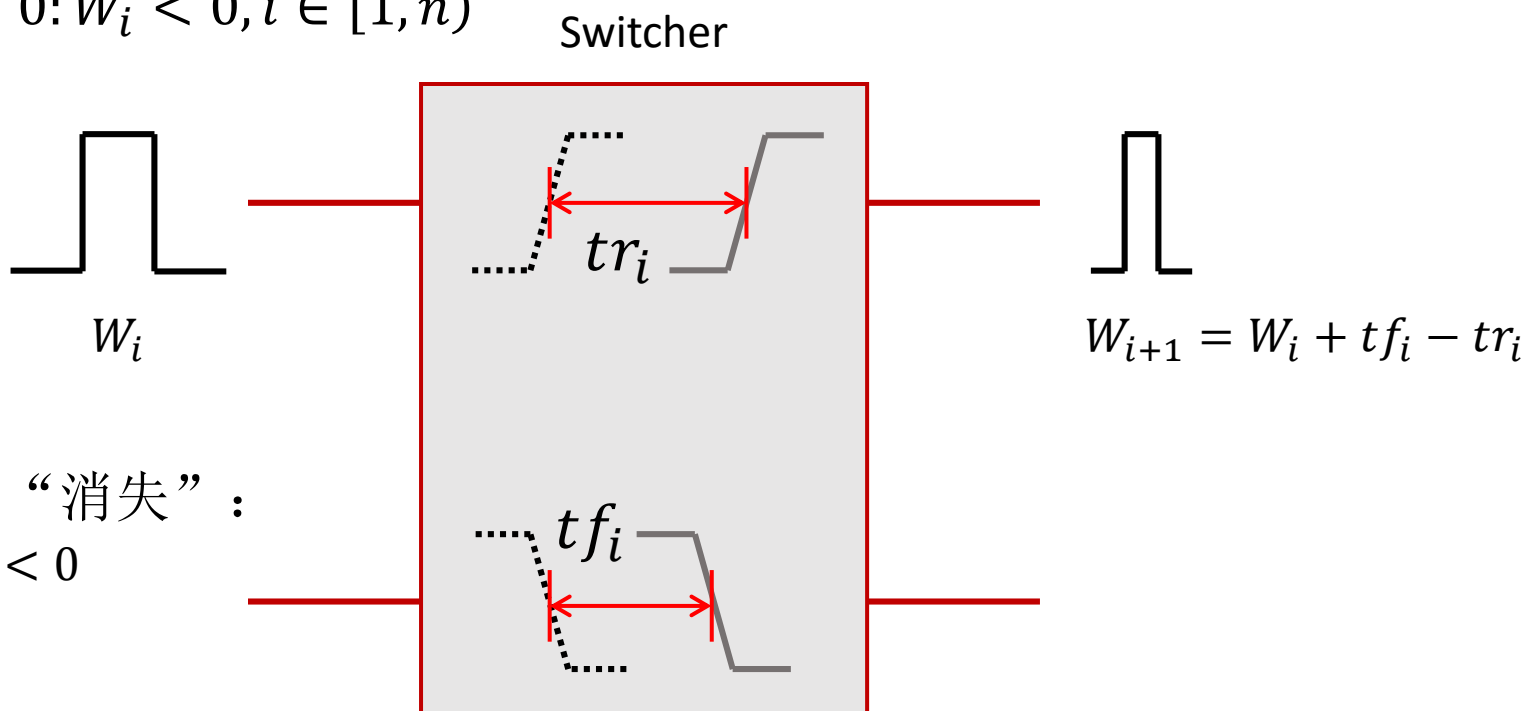
◆ Pulse Arbiter PUF

- DFF1—正边沿触发
- DFF2—负边沿触发



# 脉冲信号传递

- ◆  $W \rightarrow +\infty$ : 一般情况
- ◆  $W \rightarrow 0$ : 信号无法传递
- ◆  $W \sim 0$ :  $W_i < 0, i \in [1, n)$



- ◆ 信号“消失”:
  - $W < 0$

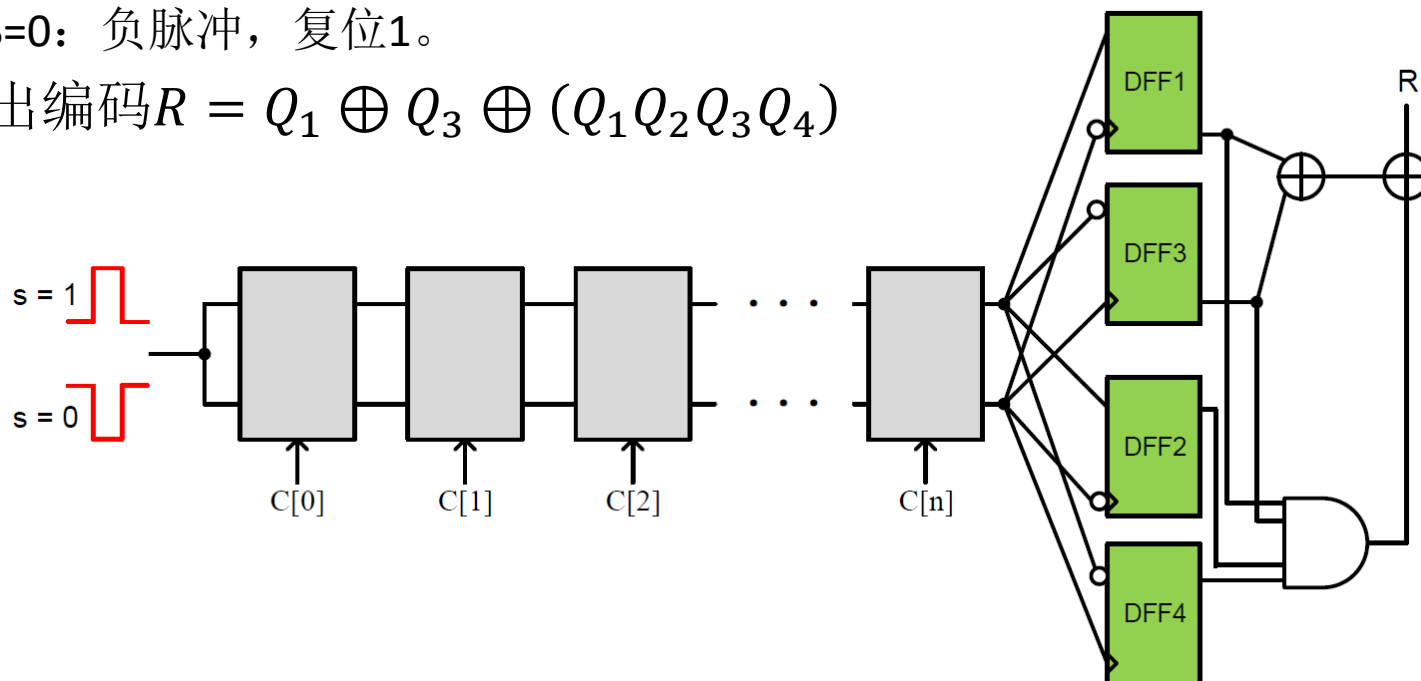
# RPA-PUF

随机脉冲PUF，随机掩码，提高复杂度

◆ 随机码s:

- S=1: 正脉冲，复位0;
- S=0: 负脉冲，复位1。

◆ 输出编码  $R = Q_1 \oplus Q_3 \oplus (Q_1 Q_2 Q_3 Q_4)$

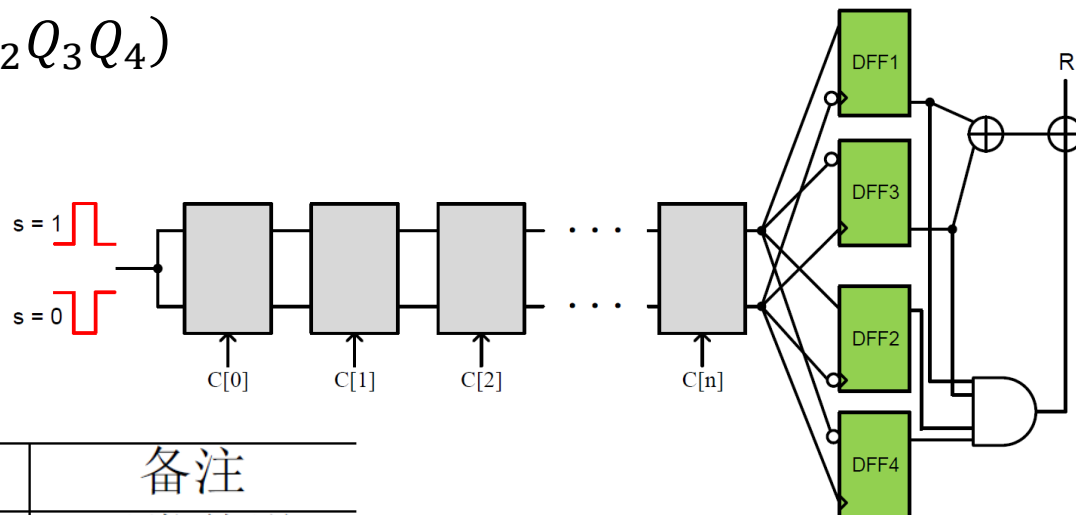




# RPA-PUF

◆  $R = Q_1 \oplus Q_3 \oplus (Q_1 Q_2 Q_3 Q_4)$

- 均不“消失”；
- “消失”其一；
- 均“消失”。

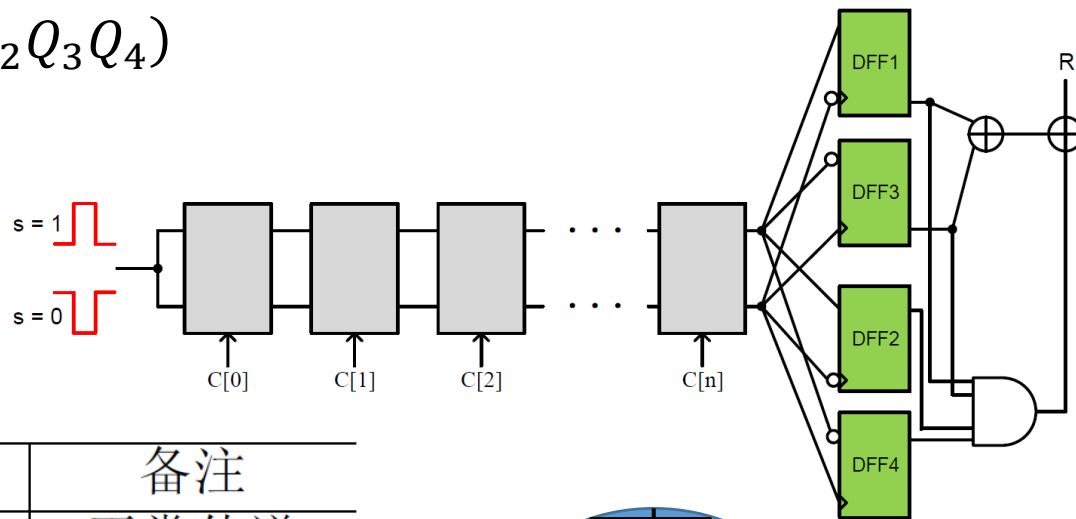


s	$Q_1$	$Q_2$	$Q_3$	$Q_4$	备注
x	0	1	0	1	正常传递
x	0	1	1	0	正常传递
x	1	0	0	1	正常传递
x	1	0	1	0	正常传递
1	1	1	1	1	负脉冲消失
0	0	0	0	0	正脉冲消失

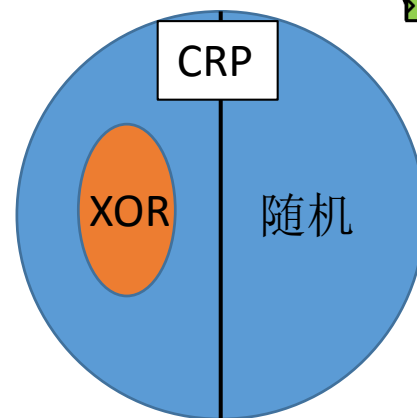
# RPA-PUF

◆  $R = Q_1 \oplus Q_3 \oplus (Q_1 Q_2 Q_3 Q_4)$

- 均不“消失”；
- “消失”其一；
- 均“消失”。



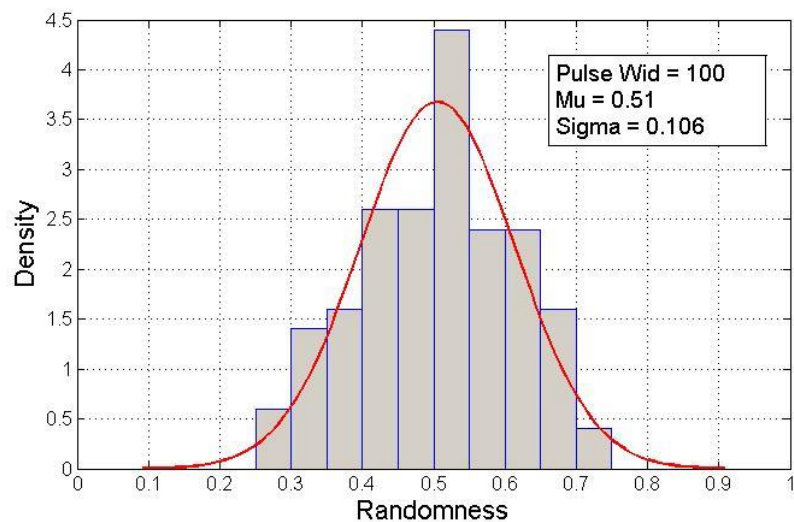
s	$Q_1$	$Q_2$	$Q_3$	$Q_4$	备注
x	0	1	0	1	正常传递
x	0	1	1	0	正常传递
x	1	0	0	1	正常传递
x	1	0	1	0	正常传递
1	1	1	1	1	负脉冲消失
0	0	0	0	0	正脉冲消失



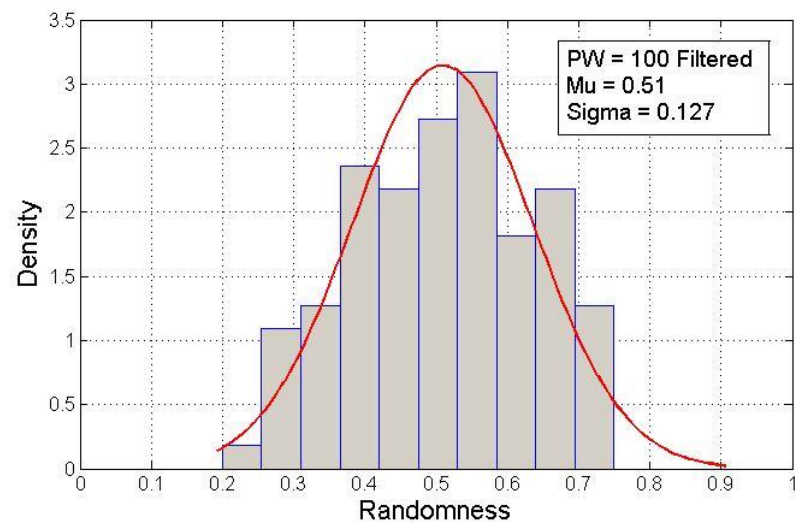
多次采样，  
舍弃随机  
响应

# 实验结果

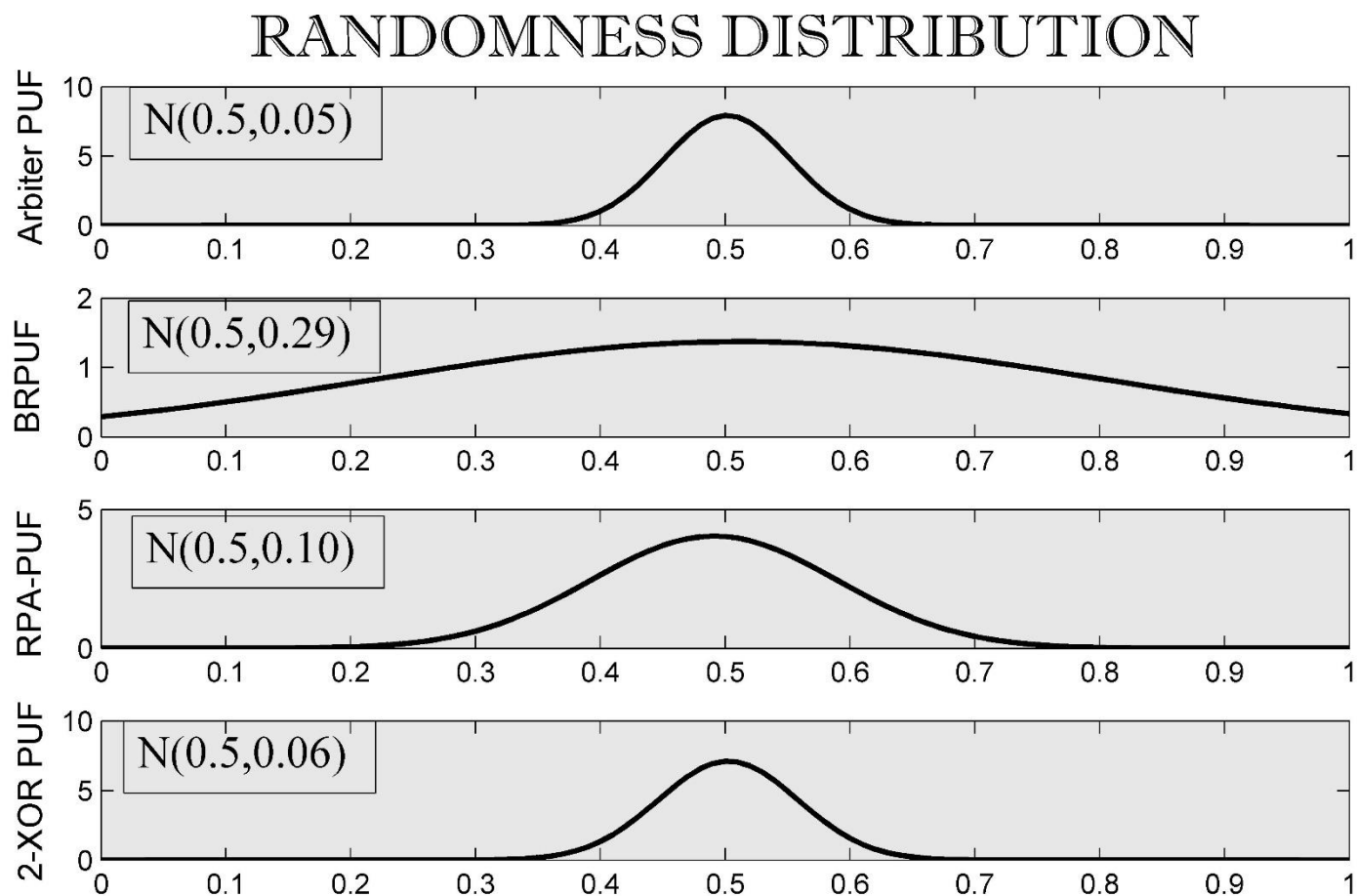
◆ 单次采样：=XOR+随机掩码



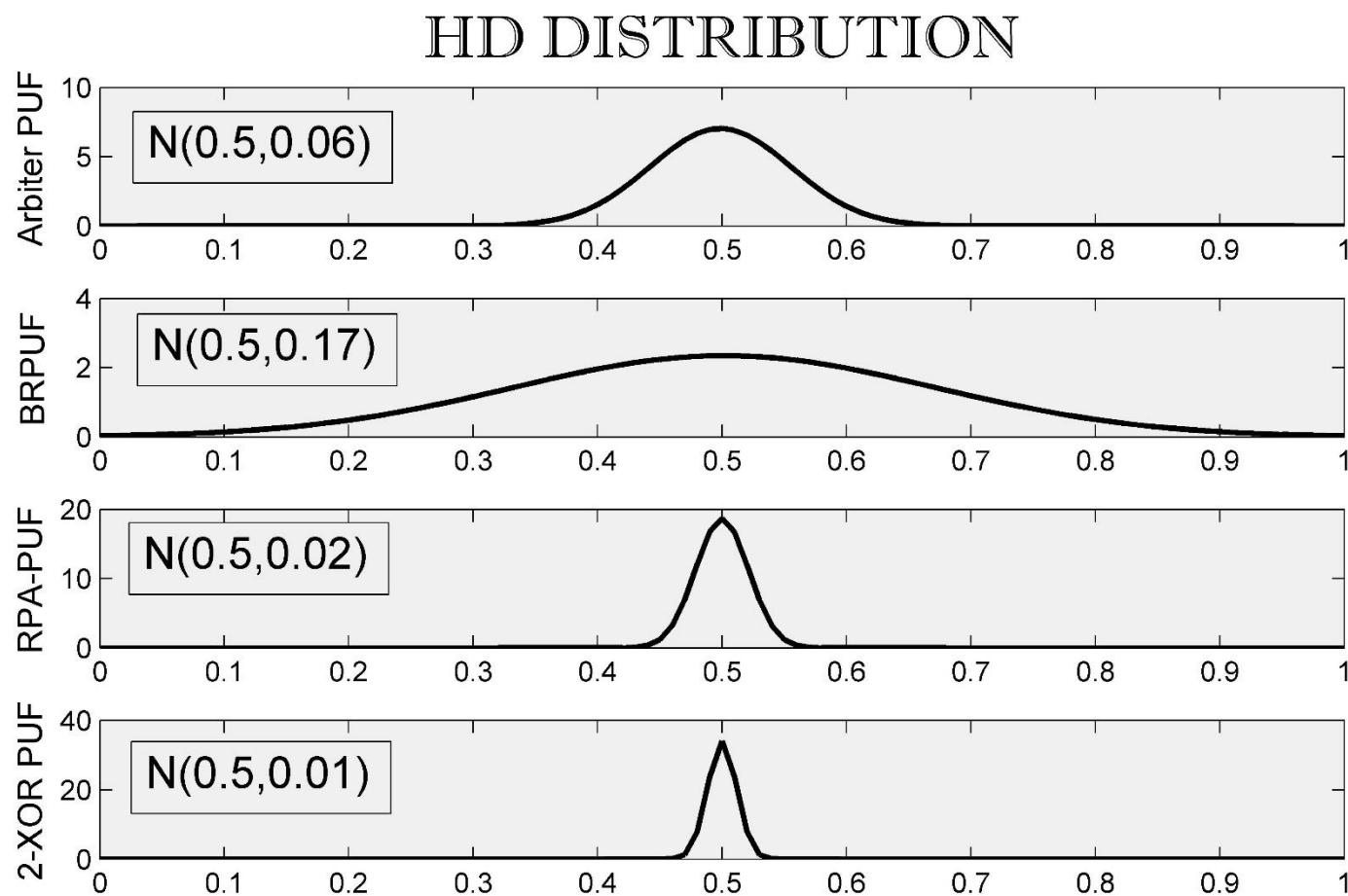
◆ 多次采样：近似XOR



# 随机性分布对比



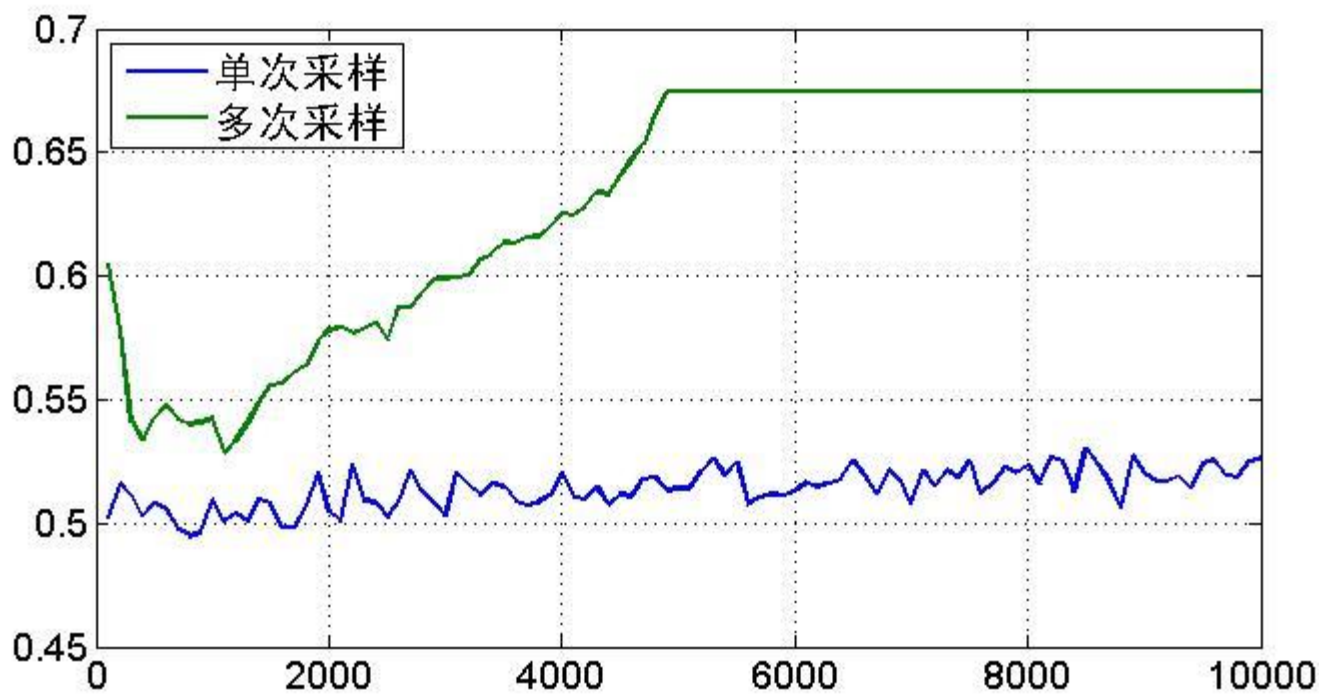
# 独特性分布对比



# RPA-PUF建模攻击

## ◆ SVM结果

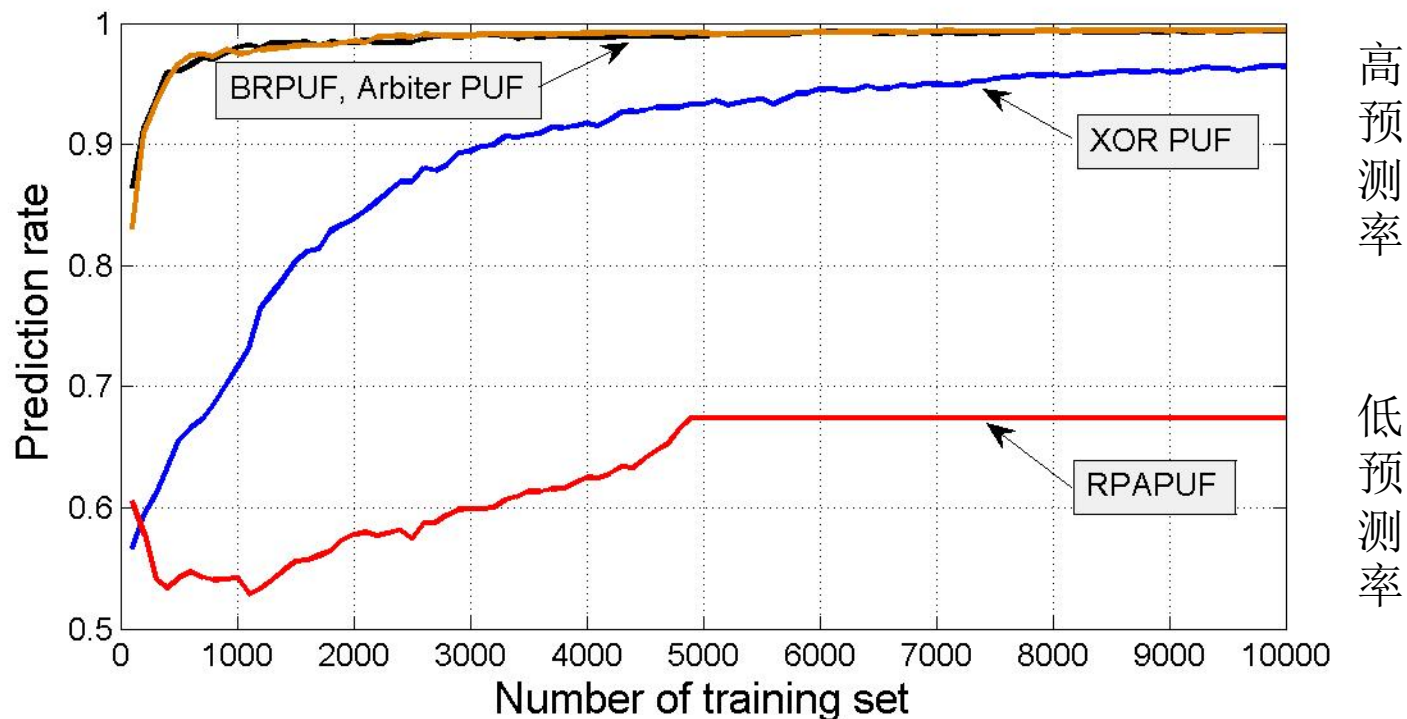
- RPAPUF使用XOR模型



# 建模攻击结果对比

## ◆ SVM结果

- RPAPUF使用XOR模型



# 结论

主要贡献:

- ◆ 对BRPUF结构建立模型，并成功实施建模攻击；
  - 预测率>99%
  - 训练集<5000 CRPs
- ◆ 提出新型PUF结构；
  - 新型掩码方式
  - 具有良好的抗建模攻击性
  - 具有良好的统计分布特性

展望:

- ◆ PUF高层次应用：协议
- ◆ 流片实现以及PVT变化分析



# 攻读硕士学位期间发表的论文

- [1] Wenyi Tang, Song Jia, and Yuan Wang, “A *Dual-voltage Single-rail Dynamic DPA-resistant Logic Based on Charge Sharing Mechanism*”, Electron Devices and Solid-State Circuits (EDSSC), 2015 IEEE International Conference on, **2013**: 483-486
- [2] Wenyi Tang, Song Jia, and Yuan Wang, “A *Short-time Three-phase Single-rail Precharge Logic Against Differential Power Analysis*”, IEICE Transactions on Electronics (Accepted)

谢谢！